

• 研究简报

香叶天竹葵挥发油抗癌活性成份的研究(二)

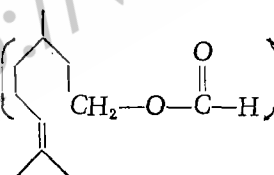
浙江卫生实验院药物研究所 韩燕艺 周有作

从香叶天竹葵 (*Pelargonium graneolens* L' Herit) 挥发油中, 分得 CF_a 、 CF_b 、 I_a 、 I_b 、 I_d 、 I_e 等六种化学成份。 CF_b 经 IR、NMR、MS 等光谱测定, 初步推认, 为香草醇甲酯 (CF_a) 的同分异物体。 CF_a 经与已知样品对照, 确认为香草醇甲酯。 I_a 经 IR 测定, 并与标准图谱核对, 初步确认为正辛烷。 I_b 、 I_d 、 I_e 待阐明结构。

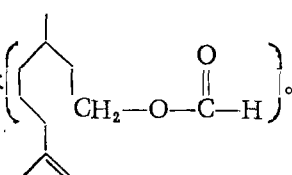
为阐明香葵油的活性成份, 香叶天竹葵挥发油研究协作组曾进行一系列的研究*, 从中分得 BC、 I_{2-3} 、CF 和 Cnol 等成份。经动物实验表明, CF 的抗肿瘤活性较香葵油高 10%; I_{2-3} 、BC、Cnol 等也有一定的抗肿瘤活性。前报已确认 CF 为香草醇甲酯, Cnol 为香草醇, I_{2-3} 、BC 为混合物。为此, 我们进一步进行了分离, 得到 CF_a 、 CF_b 等组份, 从 I_{2-3} 中分得 I_a 、 I_b 、 I_d 、 I_e 等多种成份。

CF_b 经 IR、NMR、MS 等光谱分析, 初

步推认为香草醇甲酯



的同分异构体



I_a 经 IR 核对与正辛烷基本相符。

I_b 、 I_d 、 I_e 为烃类化合物, 沸点均不一致; IR 也各有所异, 其中双键吸收峰依次加强, 都出现 720cm^{-1} 的特征峰, 其结构尚待阐明。

实验部分

沸点用自制微量沸(熔)点仪测定, 温度未加校正; 红外光谱用 Perkin-Elmer 557型, 液膜测定; 旋光仪用 Wzz-1型; 折光仪用 Wzs-1型; 核磁共振用 JEOL-PS-100型仪, 100MC 测量, HMDS 作内标准, CDCl_3 作溶剂; 质谱用 MAT-711型仪; 柱层析、薄层层析硅胶为青岛海洋化工厂产品。

一、提取分离:

1. 分馏: 取香葵油 600克, 通过 2.8cm (径) $\times 125\text{cm}$ (长) 分馏柱分馏, 依次收集馏份, 经薄层层析查, 合并相同斑点的流份、得中沸点馏份($71\sim 90^\circ\text{C}/2\sim 3\text{mmHg}$) 463.39克, 得率为 77.23%。

2. 柱层析:

(1) 硅胶柱层析: 以($71\sim 90^\circ\text{C}/2\sim 3\text{mmHg}$) 中沸点馏份为样品, 通过硅胶柱($5\text{cm} \times 100\text{cm}$) 层析, 以 98:2; 95:5 不同配比的石油醚: 乙酸己酯混合溶剂洗脱, 以 BS-100型自动收集仪收集流份, 流速 10ml/10分钟, 每 10ml 为一流份, 用薄层层析检查, 合并相同斑点的流份, 分别在第 1~282 流份得到 Rf 值为 0.86 的玫瑰红色斑点 (BC); 第 283~400 为空白流份; 第 401~478

* 香叶天竹葵挥发油研究协作组由浙江卫生实验院、上海医药工业研究院、杭州胡庆余堂制药厂、杭州肿瘤医院四个单位组成。

流份得到 R_f 值为 0.65 的黄绿色斑点 (CF_a)；第 479~497 流份得到 (CF_{ab})；第 498~567 流份得到 R_f 值为 0.59~0.62 的淡红色斑点 (CF_b)，将 CF_a 、 CF_b 、 CF_{ab} 合称为 CF ，得率为 (71~90°C/2~3 mmHg) 中沸点馏份的 64.47%。旋光度 $[\alpha]_D^{20^\circ} - 11.95^\circ$ ，折光率 $n_D^{15^\circ} - 1.4383$ 。

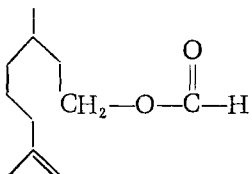
(2) 硝酸银—硅胶柱层析：

将香葵油重复上柱层析数次，在石油醚部位分得 $I_{2~3}$ ，实验动物表明具有抗肿瘤活性。 $I_{2~3}$ 再经过硝酸银—硅胶柱层析，以正己烷洗脱，依次收集各流份，并经硝酸银—硅胶薄层层析检查，合并相同斑点的流份，从中分得 I_a 、 I_b 、 I_d 、 I_e 等成份，另一种 I_c 为混合物。

二、鉴定：

1. CF_b ：本品为无色透明液体，具有特殊香味， $b.p. 227^\circ\text{C}$ (未校正)， $\text{IR}_{\text{max}}^{\text{液膜cm}^{-1}}$ 1720 (—C—O—)，1160 (—C—O—C—)，2960，2860 (—CH₃)，2915，2850 (—CH₂—)，1445，1370 (—CH₃，—CH₂)，1665，1580 (C=C)；NMR δ : 0.9 (3H, d > CH₃)，1.56 (3H, d, CH₃—C=)，2.02 (2H, t, CH₂—C=)，1.8 (1H, M —CH—)，4.16 (2H, t, CH₂—O)，4.68 (1H, d C=C—H)，5.08 (1H, d C=C—H)，8.02 (1H, s, —C—H)；MS m/e (相对丰度%)：185(25)，167(44.5)，149(31.2)，125(73.3)，111(100)，95(89.0)，81(91.8)，77(74.0)，69(40.1)，67(34.2)，135(8.9)。

根据上述分析，初步推认 CF_b 的结构为：



2. I_a ：本品为无色透明液体，有不良气

味， $b.p. 112^\circ\text{C}$ (未校正)， $\text{IR}_{\text{max}}^{\text{液膜cm}^{-1}}$ 2945，2860 (—CH₂)，1460，1370 (—CH₃，—CH₂)，720 [—(CH₂)_n] $n > 4$ 。经与标准图谱核对，与正辛烷 (octane) 基本相符^[1]。

3. I_b ， I_d ， I_e ：

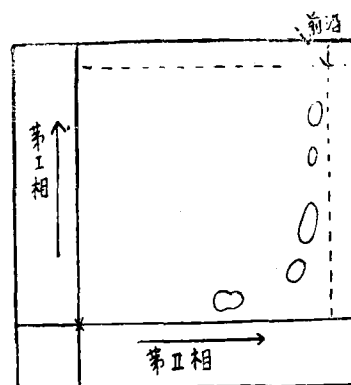
I_b ：本品为无色透明液体， $b.p. 257^\circ\text{C}$ (未校正)， $\text{IR}_{\text{max}}^{\text{液膜cm}^{-1}}$ ：2950、2860 (—CH₃)，2910、2860 (—CH₂)，1450、1370 (—CH₃，—CH₂)，1605，1655 (C=C)，810，780 (CH=C)，720 [—(CH₂)_n] $n > 4$ 。

I_d ：本品为无色透明液体， $\text{IR}_{\text{max}}^{\text{液膜cm}^{-1}}$ 2950、2860 (—CH₃)，2920、2850 (—CH₂)，1460，1370 (—CH₃，—CH₂)，1635，1655 (C=C)，720 [—(CH₂)_n] $n > 4$ 。

I_e ：本品为无色透明液体， $b.p. 225^\circ\text{C}$ (未校正)， $\text{IR}_{\text{max}}^{\text{液膜cm}^{-1}}$ ：2950、2860 (—CH₃)，1460、1370 (—CH₃)，2920、2860 (—CH₂)，1450 (—CH₂)，1650 (C=C)，720 [—(CH₂)_n] $n > 4$ 。

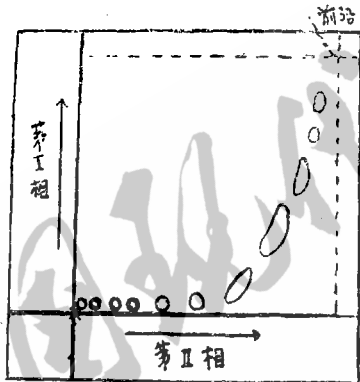
上述分析表明， I_b 、 I_d 、 I_e 为烯烃类化合物，双键数目依次递增，其结构待进一步阐明。

$I_{2~3}$ 经 AgNO₃—硅胶薄层层析 (图 1) 显示有六个斑点，已分离出四个成份 (I_a 、 I_b 、 I_d 、 I_e)， I_c 为混合物。



图一

$I_{2~3}$ 的 2.5% 硝酸银—硅胶双向薄层层析图薄板：10 × 10 cm 展开剂：Ⅰ 正己烷 Ⅱ 正己烷：乙酸乙酯 (9:1) 显色剂：1% 苯香醛试剂。



图二

BC 的 2.5% 硝酸银—硅胶双向薄层层析图薄板: 10×10cm。展开剂: Ⅰ 正己烷 Ⅱ 正己烷:乙酸乙酯(9:1)
显色剂: 1% 苄香醛试剂。

4. BC: 本品为一混合物, 经硝酸银—硅胶薄层双向层析(图2), 显示11个斑点, 有待进一步分离鉴定。

致谢: 质谱和核磁共振谱由中国科学院上海药物研究所测定; 旋光度和折光率由胡庆余堂制药厂测定; 红外光谱由本院仪器分析室测定。在此一并致谢。

参考文 谢

- [1] William W. Simons, The Sadtier Hand book of Infrared Spectra P.7